

# ストレンジネス交換反応 における多段階過程

橋本慎太郎

河野通郎<sup>A</sup>, 緒方一介, 渡辺幸信<sup>B</sup>, 河合光路  
九大理, 九歯大<sup>A</sup>, 九大総理工<sup>B</sup>

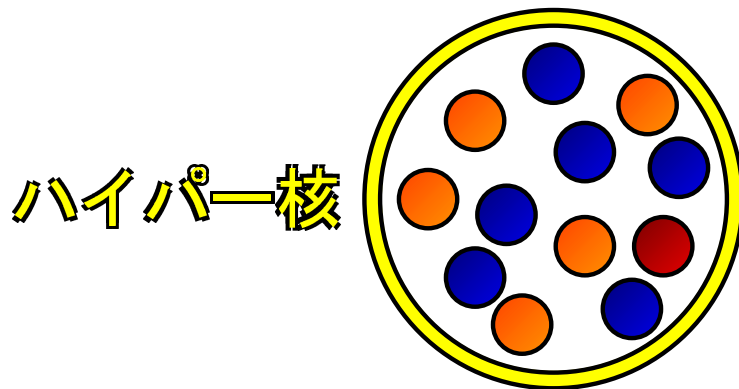
KEK 研究会「現代の原子核物理 – 多様化し変化する原子核の描像」  
2006 年 8 月 1 日~8 月 3 日



# Contents

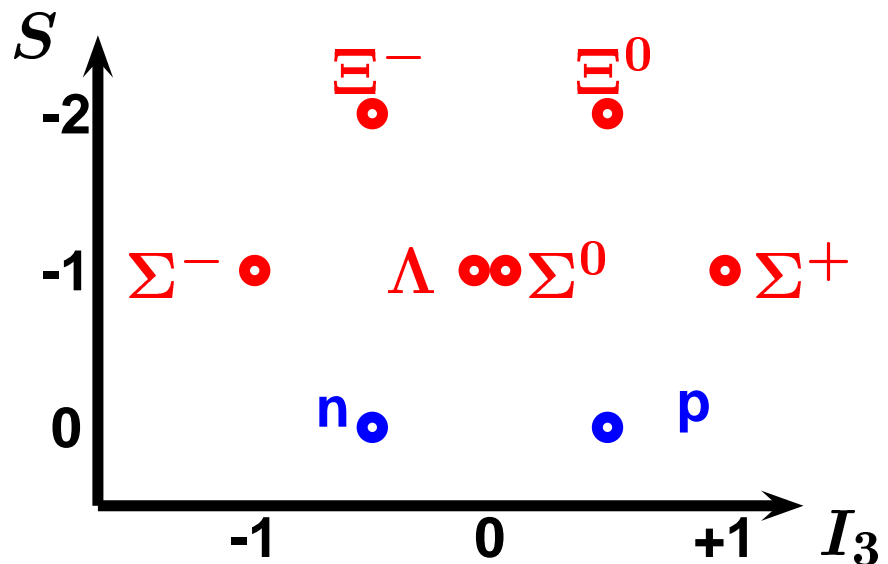
- ◆ **Introduction**
- ◆ **Strangeness exchange reaction**
- ◆ **Multi-step processes**
- ◆ **SemiClassical Distorted Wave model**
- ◆ **Results**
- ◆ **Summary and future work**

## ◆ ストレンジネス物理: ハイパー核研究



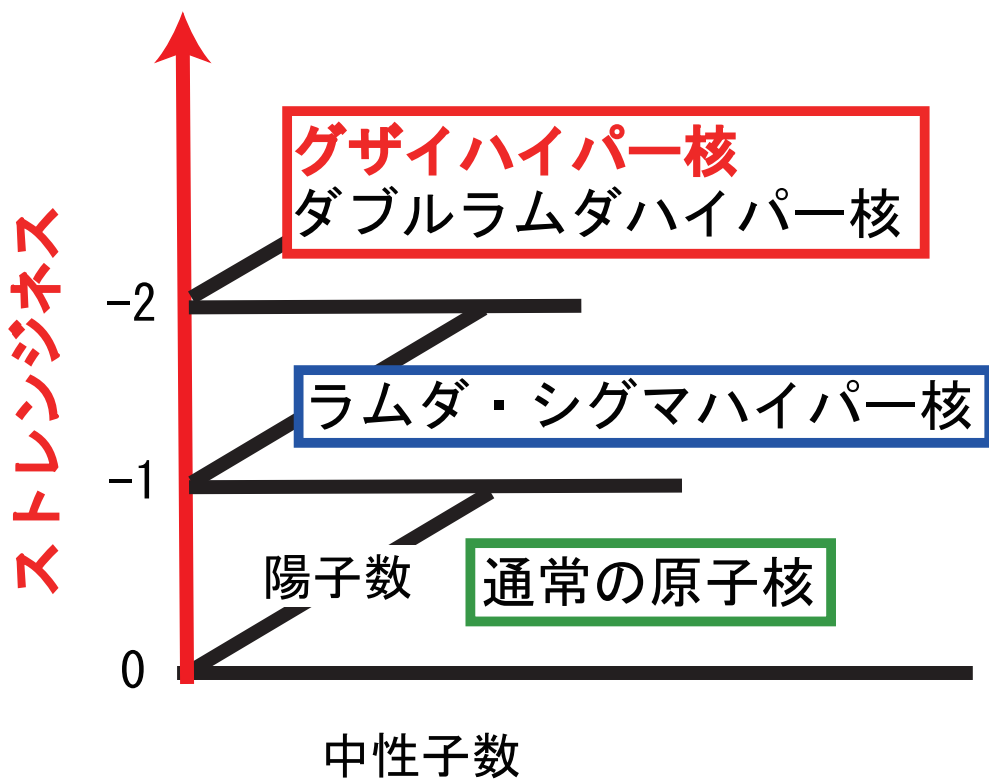
- 陽子
- 中性子
- ハイペロン  
 $\Lambda$ (ラムダ),  $\Sigma$ (シグマ),  $\Xi$ (グザイ)

バリオン 8 重項  
 $(J^P = \frac{1}{2}^+)$



# Introduction

- ◆ ストレンジネス物理: ハイパー核研究
  - ◆ ハイペロン-核子間相互作用
  - ◆ ハイペロン-ハイペロン間相互作用

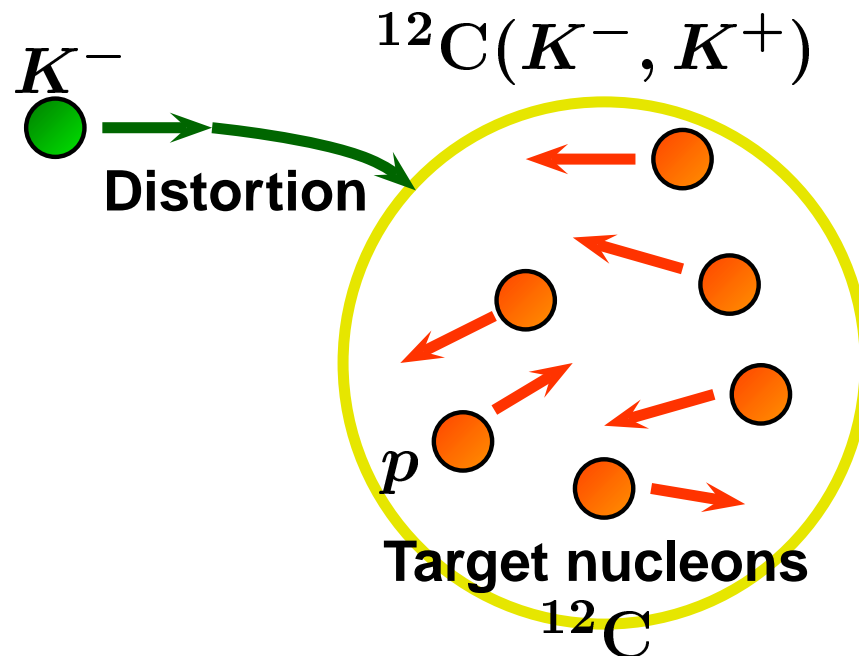


これから J-PARC  
(大強度陽子加速器計画)

これまで主に解析  
されてきた

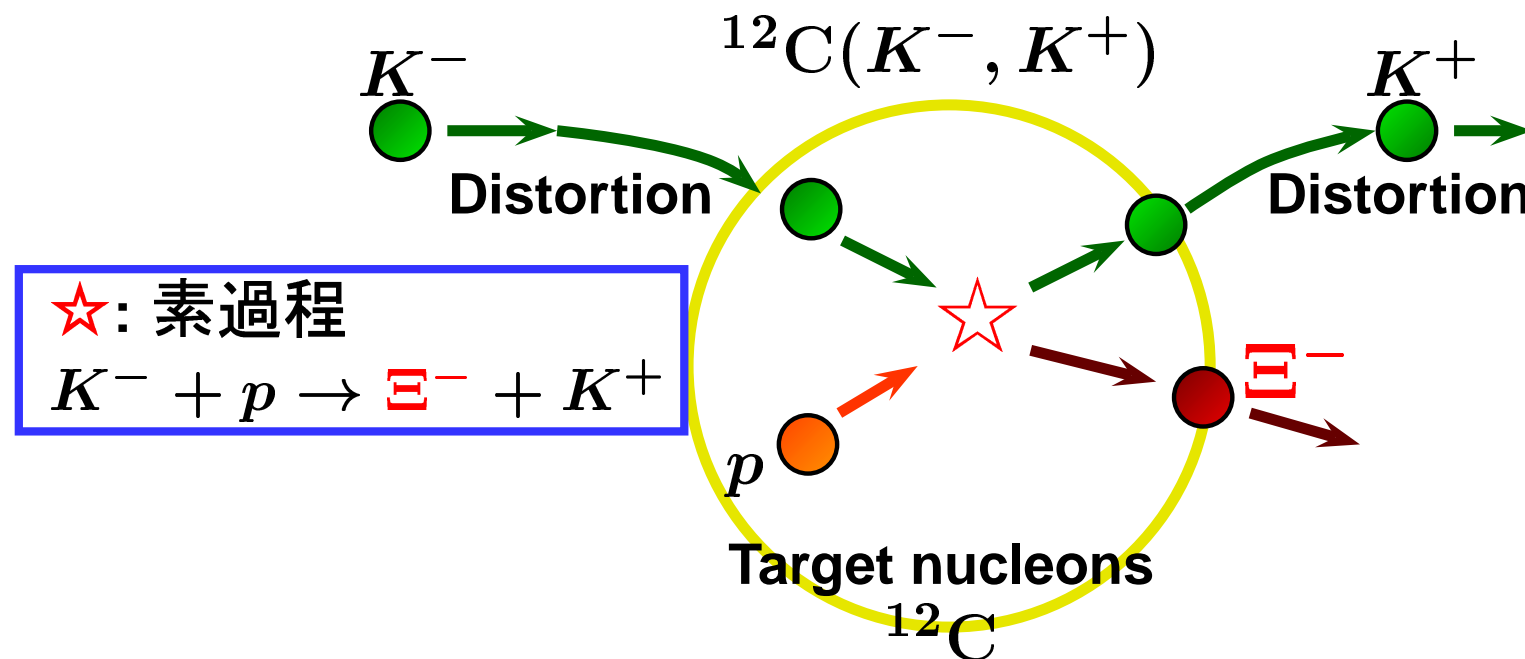
# Strangeness exchange reaction

- ◆  $\Xi(S = -2)$  ハイペロン生成反応



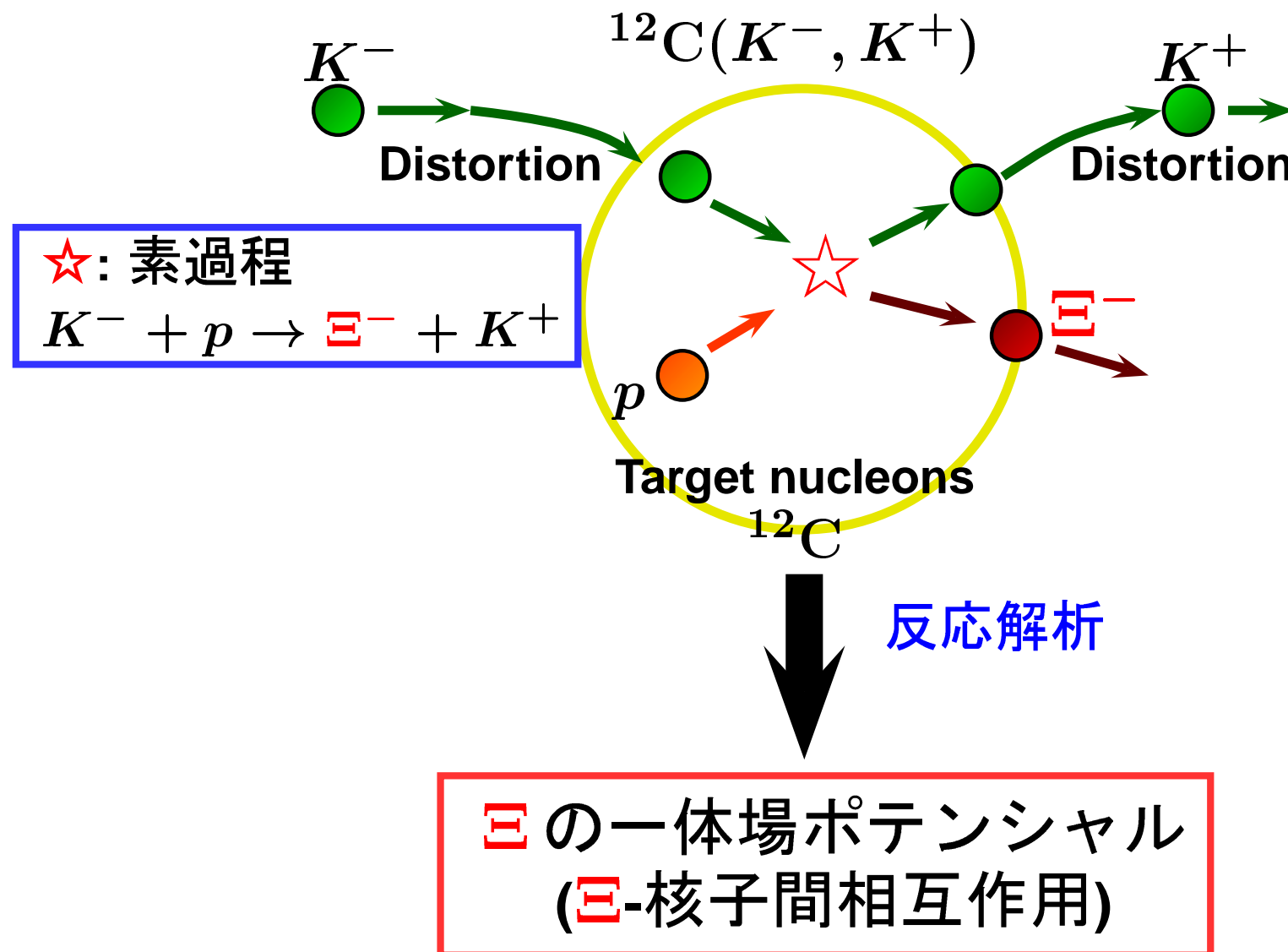
# Strangeness exchange reaction

- ◆  $\Xi(S = -2)$  ハイペロン生成反応



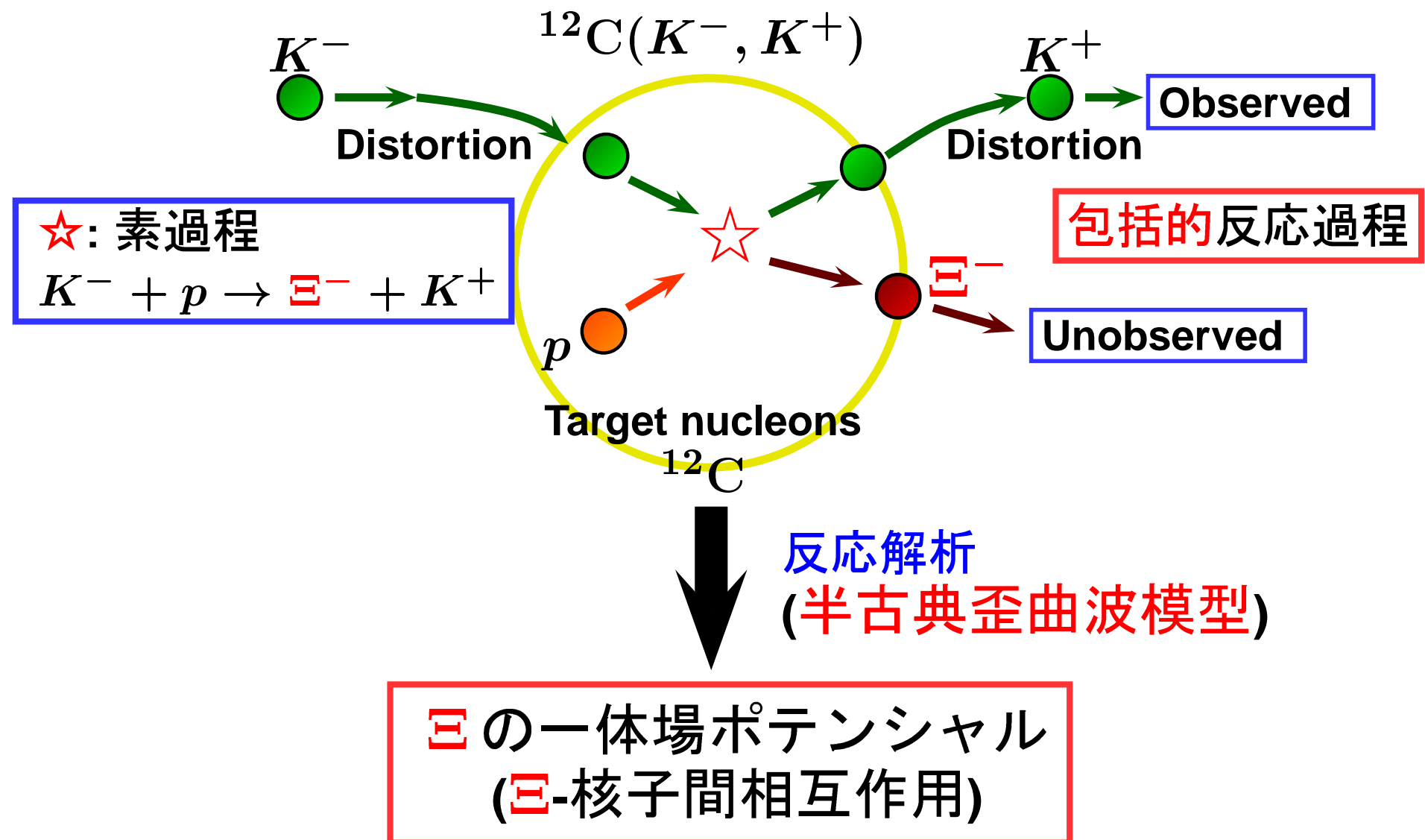
# Strangeness exchange reaction

- ◆  $\Xi(S = -2)$  ハイペロン生成反応



# Strangeness exchange reaction

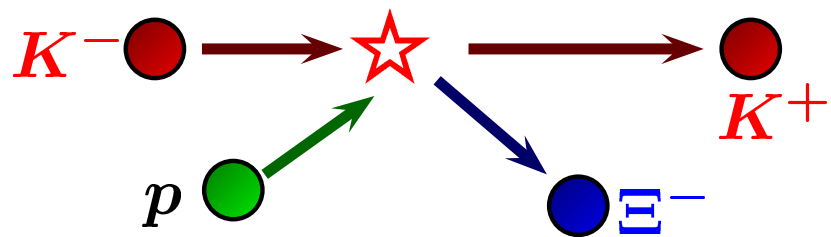
- ◆  $\Xi(S = -2)$  ハイペロン生成反応





# Multi-step processes

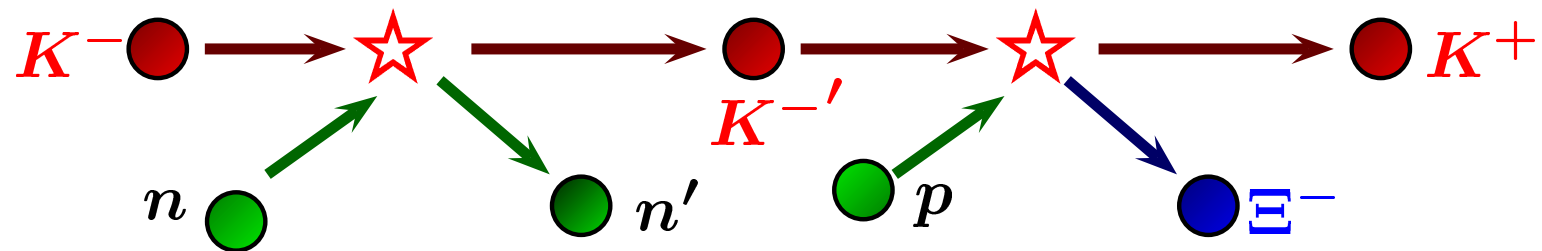
- ◆  $(K^-, K^+)$ : ダブルストレンジネス交換反応
- ◆ 1段階過程
  - ◆  $K^- + p \rightarrow \Xi^- + K^+$





# Multi-step processes

- ◆  $(K^-, K^+)$ : ダブルストレンジネス交換反応
- ◆ 2段階過程
  - ◆  $K^- + n \rightarrow n' + K^{-\prime} \Rightarrow K^{-\prime} + p \rightarrow \Xi^- + K^+$

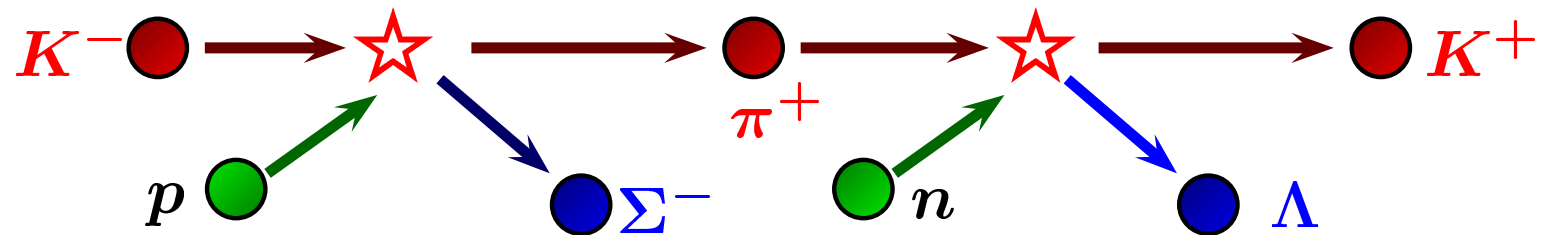
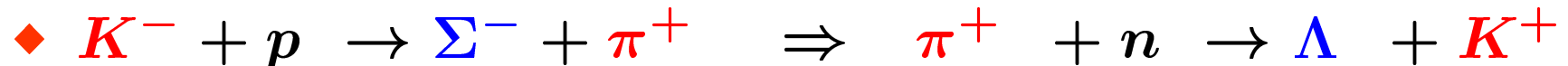
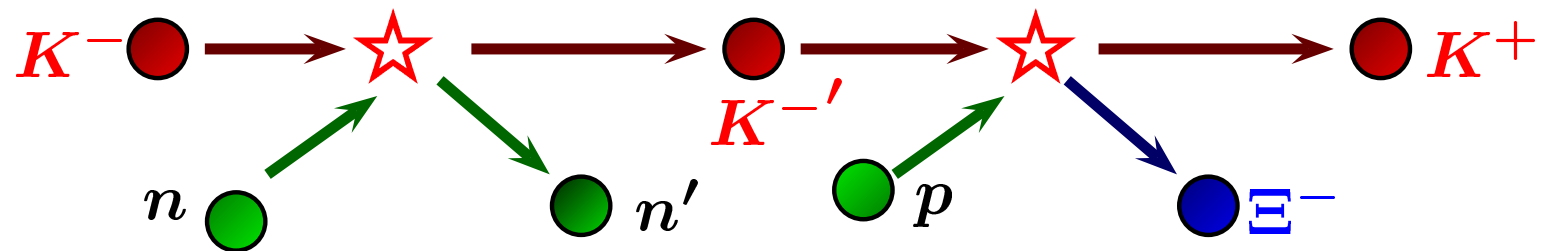
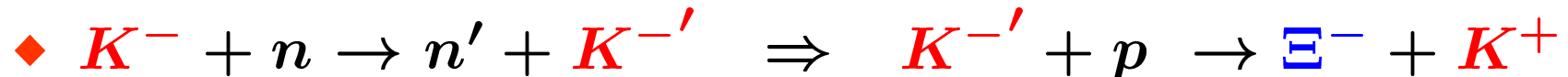




# Multi-step processes

- ◆  $(K^-, K^+)$ : ダブルストレンジネス交換反応

- ◆ 2段階過程





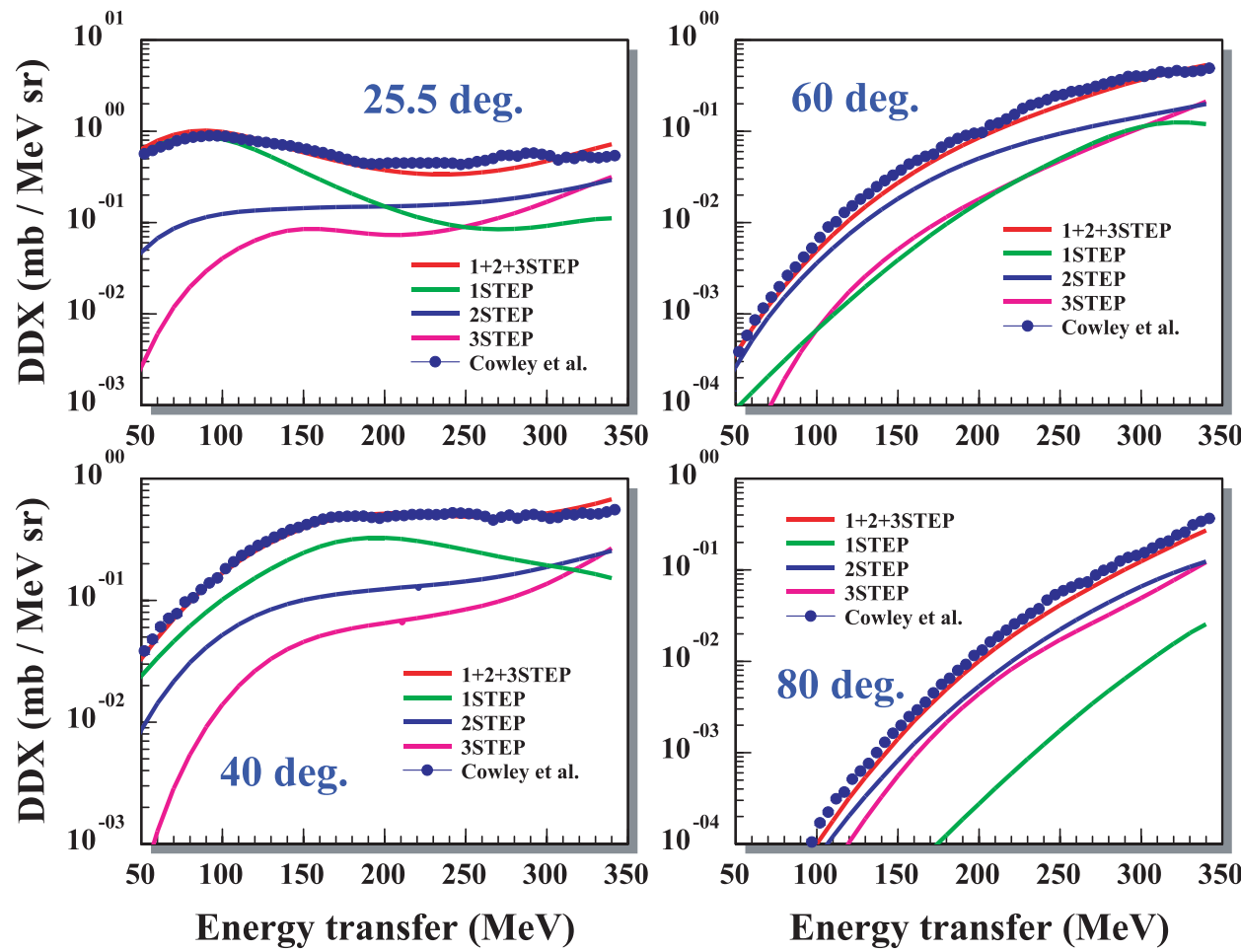
## ◆ 半古典歪曲波模型

- ◆ 包括的  $(p, p')$  や  $(p, n)$  を調節パラメーターなしで定量的に記述
- ◆ 多段階過程計算を比較的容易に定式化
  - ◆ Y. L. Luo and M. Kawai, PLB 235, 211 (1990); PRC 43, 2367 (1991).
  - ◆ M. Kawai and H. A. Weidenmüller, PRC 45, 1856 (1992).
  - ◆ Y. Watanabe, R. Kuwata, Sun Weili, M. Higashi, H. Shinohara, M. Kohno, K. Ogata and M. Kawai, PRC 59, 2136 (1999).
  - ◆ K. Ogata, M. Kawai, Y. Watanabe, Sun Weili and M. Kohno, PRC 60, 054605 (1999).
  - ◆ Sun Weili, Y. Watanabe, M. Kohno, K. Ogata and M. Kawai, PRC 60, 064605 (1999).



## ◆ 半古典歪曲波模型

### ■ Double differential cross section (DDX) for $^{40}\text{Ca}(p, p')$ at 392 MeV



[K. Ogata et al., in preparation.]



# Cross section formula for 1-step process

## DWBA 展開

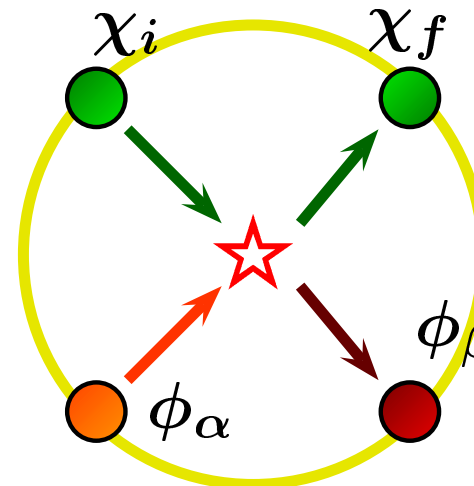
$$\frac{d^2\sigma}{dE_f d\Omega_f} = \frac{d^2\sigma^{(1)}}{dE_f d\Omega_f} + \frac{d^2\sigma^{(2)}}{dE_f d\Omega_f} + \dots$$



# Cross section formula for 1-step process

DWBA 展開

$$\frac{d^2\sigma}{dE_f d\Omega_f} = \frac{d^2\sigma^{(1)}}{dE_f d\Omega_f} + \frac{d^2\sigma^{(2)}}{dE_f d\Omega_f} + \dots$$



包括的断面積 (1段階過程)

$$\begin{aligned} \frac{d^2\sigma^{(1)}}{dE_f d\Omega_f} &= C \sum_{\beta, \alpha} |\langle \chi_f \phi_\beta | v | \chi_i \phi_\alpha \rangle|^2 \delta(\varepsilon_\beta - \varepsilon_\alpha - E_i + E_f) \\ &= C \sum_{\beta, \alpha} \int dr \chi_f^*(r) \phi_\beta^*(r) v(r) \chi_i(r) \phi_\alpha(r) \\ &\quad \times \int dr' \chi_f(r') \phi_\beta(r') v^*(r') \chi_i^*(r') \phi_\alpha^*(r') \\ &\quad \times \delta(\varepsilon_\beta - \varepsilon_\alpha - E_i + E_f) \end{aligned}$$



# Cross section formula for 1-step process

局所半古典近似:  $\chi_c(r') \cong \chi_c(r) e^{ik_c(r) \cdot s}$  ( $r' = r + s$ )

$$K(r, r') = \sum_{\beta, \alpha} \phi_\beta^*(r) \phi_\beta(r') \phi_\alpha(r) \phi_\alpha^*(r')$$
$$\times \delta(\varepsilon_\beta - \varepsilon_\alpha - E_i + E_f) : s \text{ に関して短距離}$$



$$\frac{d^2\sigma^{(1)}}{dE_f d\Omega_f} = C \sum_{\beta, \alpha} \int dr \int dk_\alpha \left| \chi_f(r) \right|^2 \left| \chi_i(r) \right|^2 \left| \phi_\beta(r) \right|^2 \Phi_\alpha(r, k_\alpha)$$
$$\times |v(r)|^2 \delta(k_f(r) - k_i(r) + k_\beta(r) - k_\alpha)$$
$$\times \delta(\varepsilon_\beta - \varepsilon_\alpha - E_i + E_f)$$



# Cross section formula for 2-step processes

$$\begin{aligned} \frac{d^2\sigma^{(2)}}{dE_f d\Omega_f} = & C \int dE_m \iint dr_1 dr_2 |\chi_f(r_2)|^2 |\chi_i(r_1)|^2 \\ & \times \iint dk_{\alpha_2} dk_{\beta_2} |v_2|^2 \delta(k_{\beta_2} - k_{\alpha_2} + k_f(r_2) - \kappa_m(r)) \\ & \times \delta(E_f - E_m + \varepsilon_{\beta_2} - \varepsilon_{\alpha_2}) \\ & \times \left(\frac{\mu}{2\pi\hbar^2}\right)^2 \frac{e^{-2\gamma_m(r)|r_2-r_1|}}{|r_2 - r_1|^2} \\ & \times \iint dk_{\alpha_1} dk_{\beta_1} |v_1|^2 \delta(k_{\beta_1} - k_{\alpha_1} + \kappa_m(r) - k_i(r_1)) \\ & \times \delta(E_m - E_i + \varepsilon_{\beta_1} - \varepsilon_{\alpha_1}) \end{aligned}$$

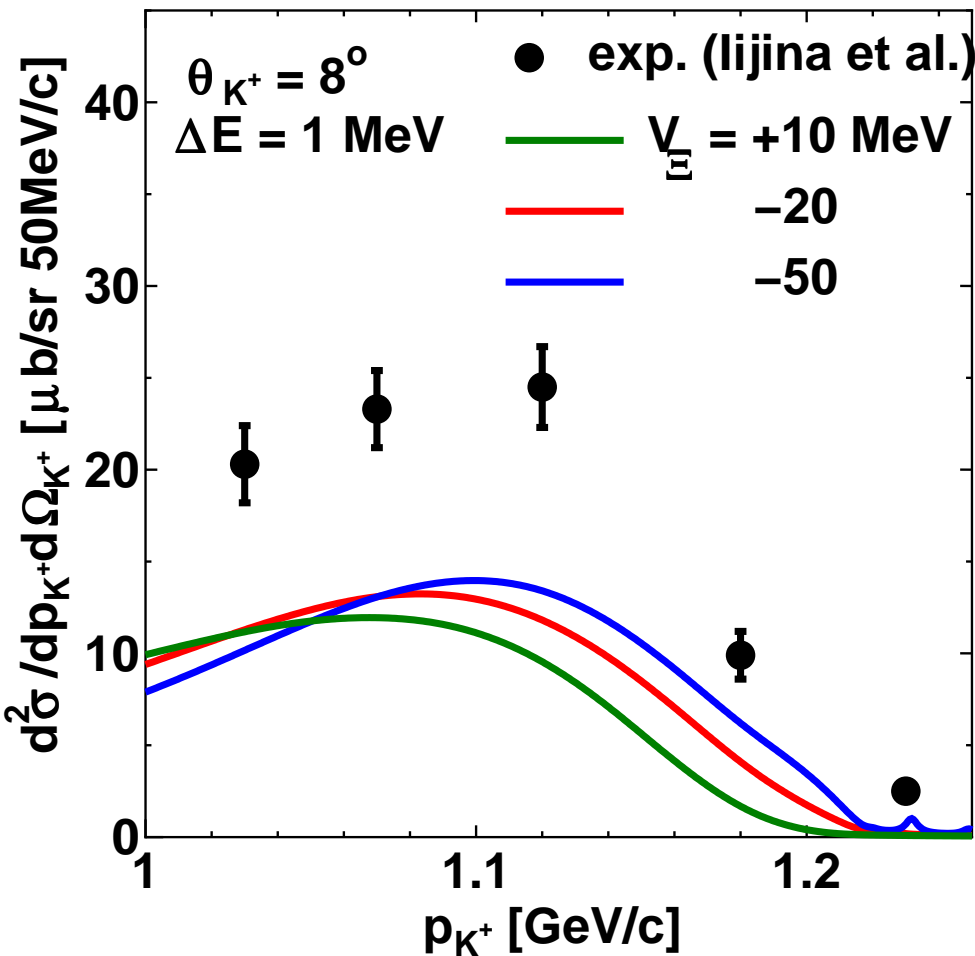


# Ξ production reaction analysis

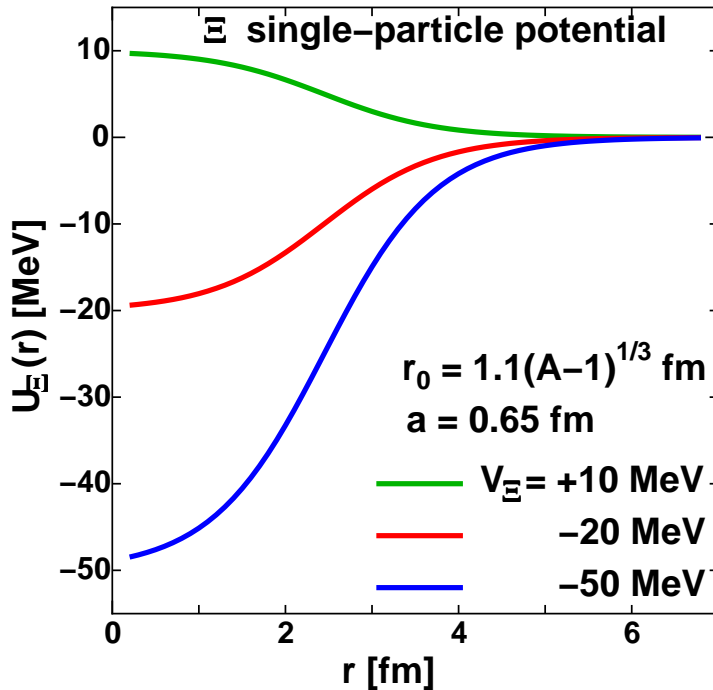
- ◆  $^{12}\text{C}$  標的 ( $K^-, K^+$ ) 反応 (入射運動量  $1.65 \text{ GeV}/c$ )

実験値:T. Iijima et al., NPA 546, 588 (1992).

## ■ $K^+$ momentum spectrum



■  $\Xi$  の一体場ポテンシャル  
(Woods-Saxon 型を仮定)





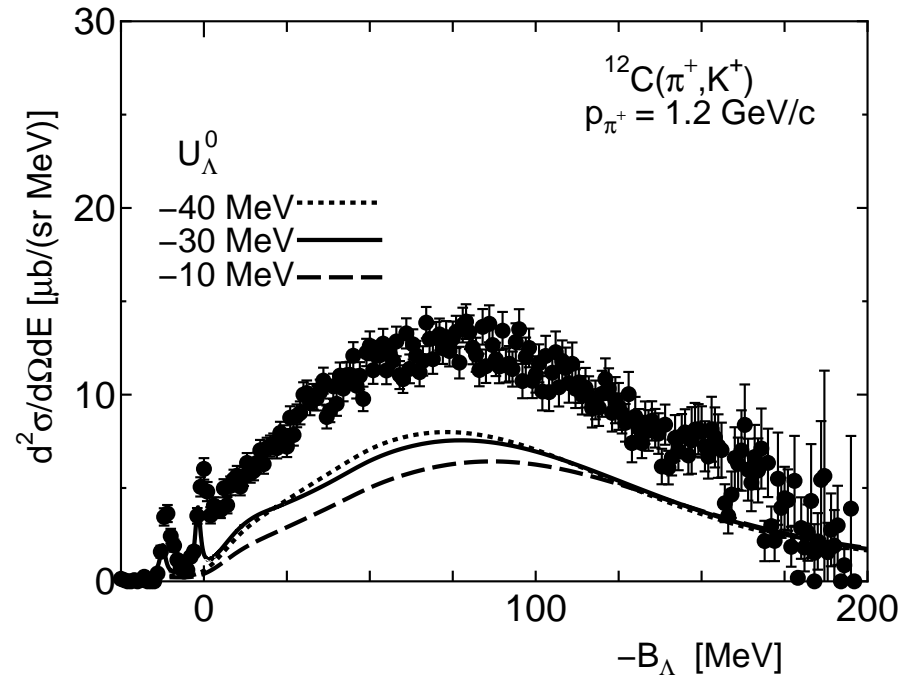
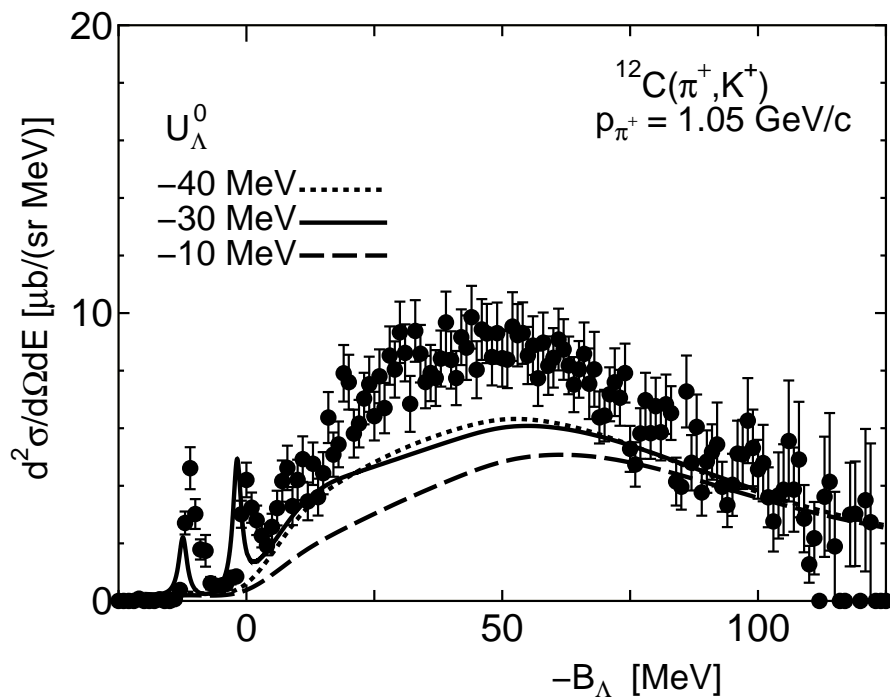
# Λ production reaction analysis

## ◆ $^{12}\text{C}$ 標的 ( $\pi^+, K^+$ ) 反応

実験値:H. Noumi et al., PRL 89, 072301 (2002) and P.K. Saha et al., PRC 70, 044613 (2004).

### ■ Missing-mass spectrum

[M. Kohno et al., submitted to PRC.]





# Summary and future work

- ◆ 入射運動量 1.65 GeV/c における  $\Xi$  生成  $^{12}\text{C}(K^-, K^+)$  反応を半古典歪曲波模型 (SCDW) を用いて解析した。
- ◆ SCDW による計算結果は、エネルギー依存性に関しては実験値を再現しているが、その絶対値に関しては 50% ほど過小評価している。
- ◆ 過小評価の傾向は、 $\Lambda$  生成  $^{12}\text{C}(\pi^+, K^+)$  反応でも同様である。

- ◆ より定量的な解析を行うために多段階過程の評価を行う。
- ◆ 過小評価の原因を探る。素過程の媒質効果？